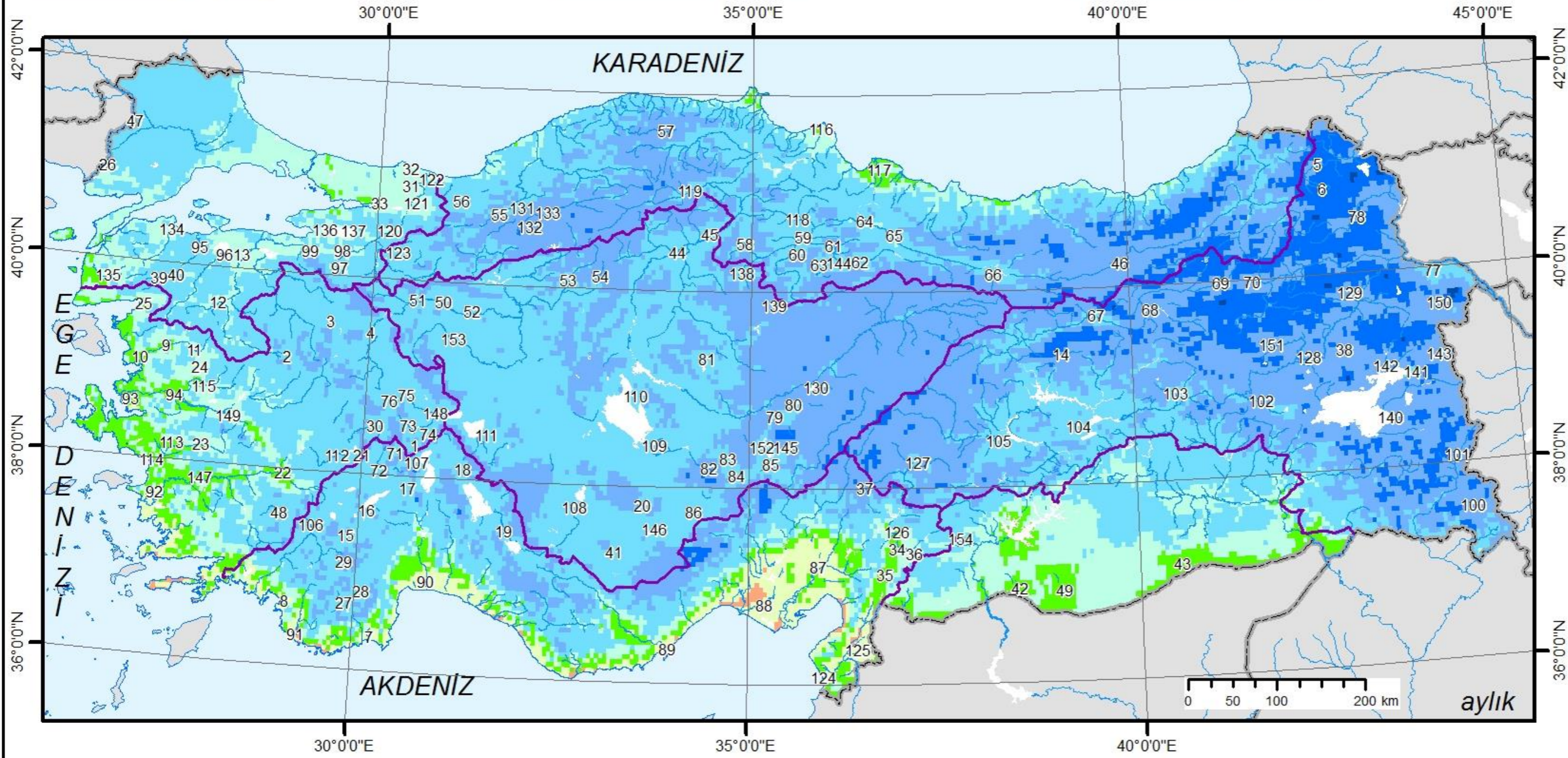
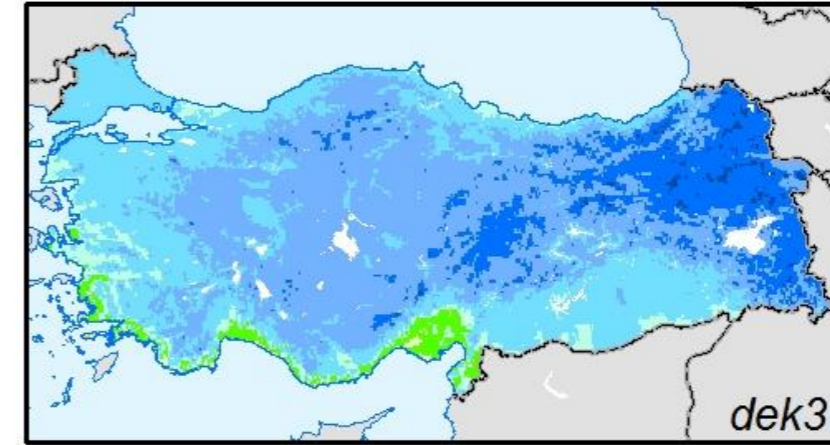
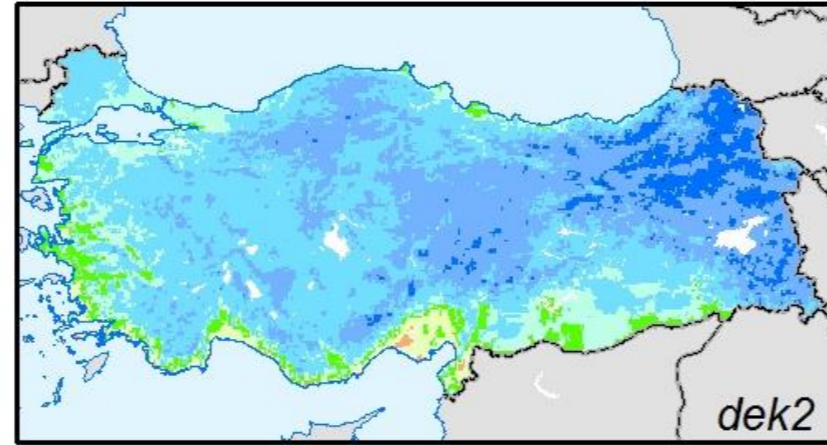
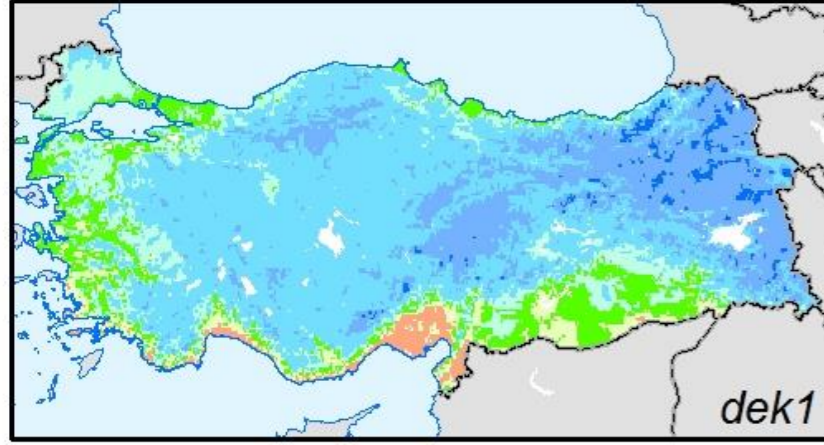


DÜNYA ve TÜRKİYE İKLİMİ

Yrd. Doç. Dr. Erkan Yılmaz

- Türkiye'de Sıcaklıklar



Aralık

Ocak

Şubat

Mart

Nisan

Mayıs

Haziran

Temmuz

Ağustos

Eylül

Ekim

Kasım

Kış

Güz-Bahar

Yaz

Şiddetli Kış

Tipik Kış

Ilık Kış

Hafif Kış

Kış Bahar / Güz Kış

Tipik Bahar / Tipik Güz

Bahar Yaz / Yaz Güz

İlk / Son Yaz

Tipik Yaz

Sıcak Yaz

Çok Sıcak Yaz

<(-5)

0-(-5)

0-5

5-10

10-12

12-14

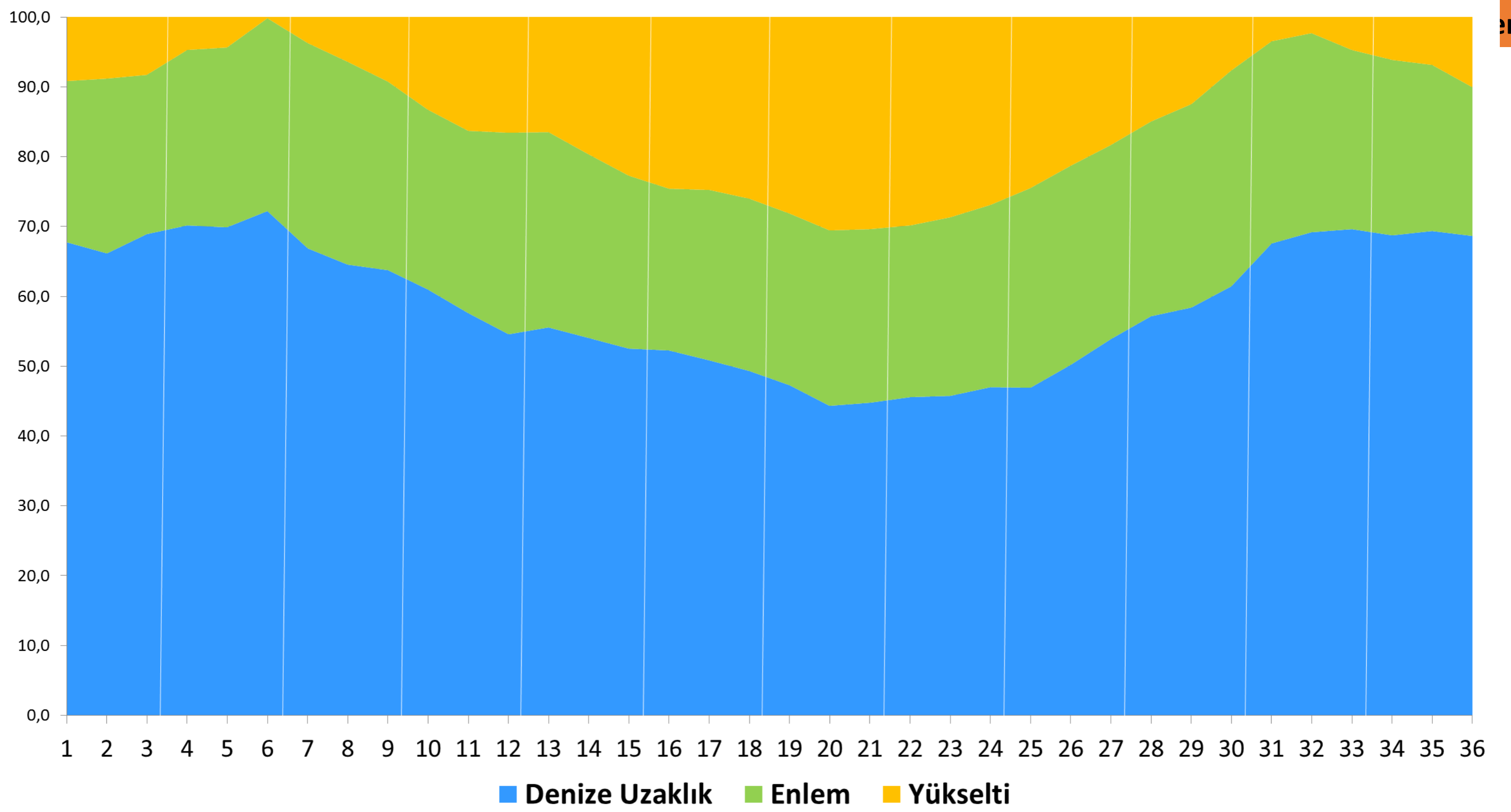
14-16

16-20

20-25

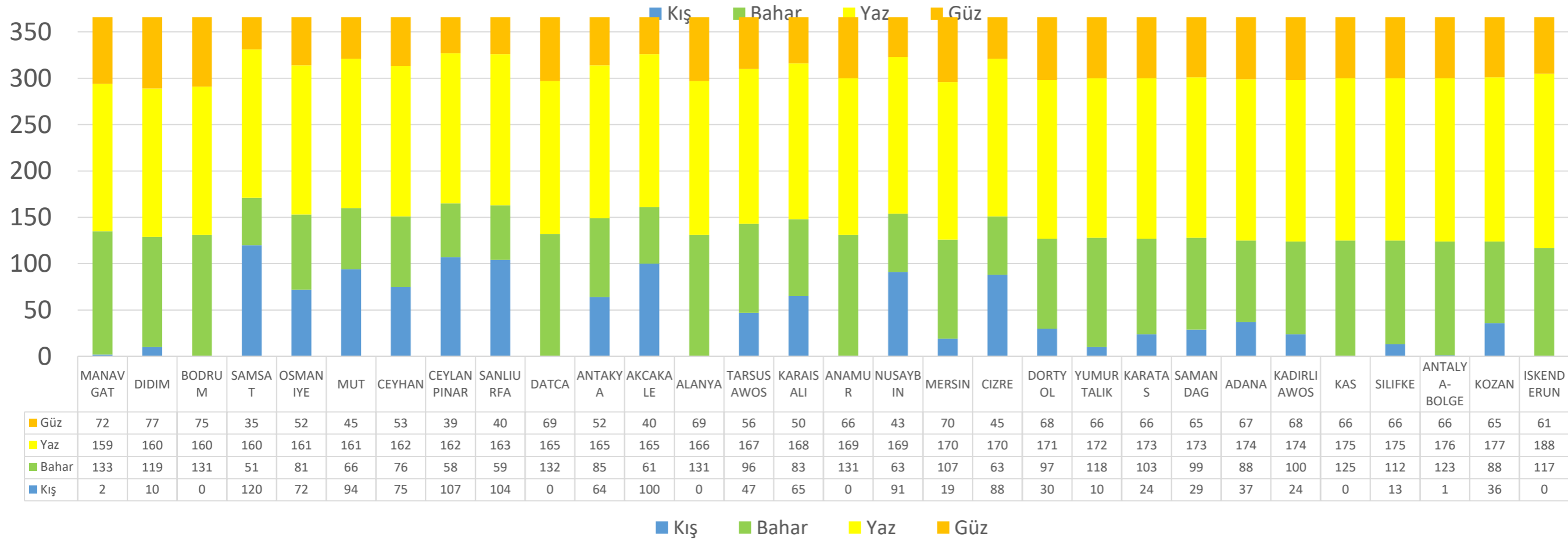
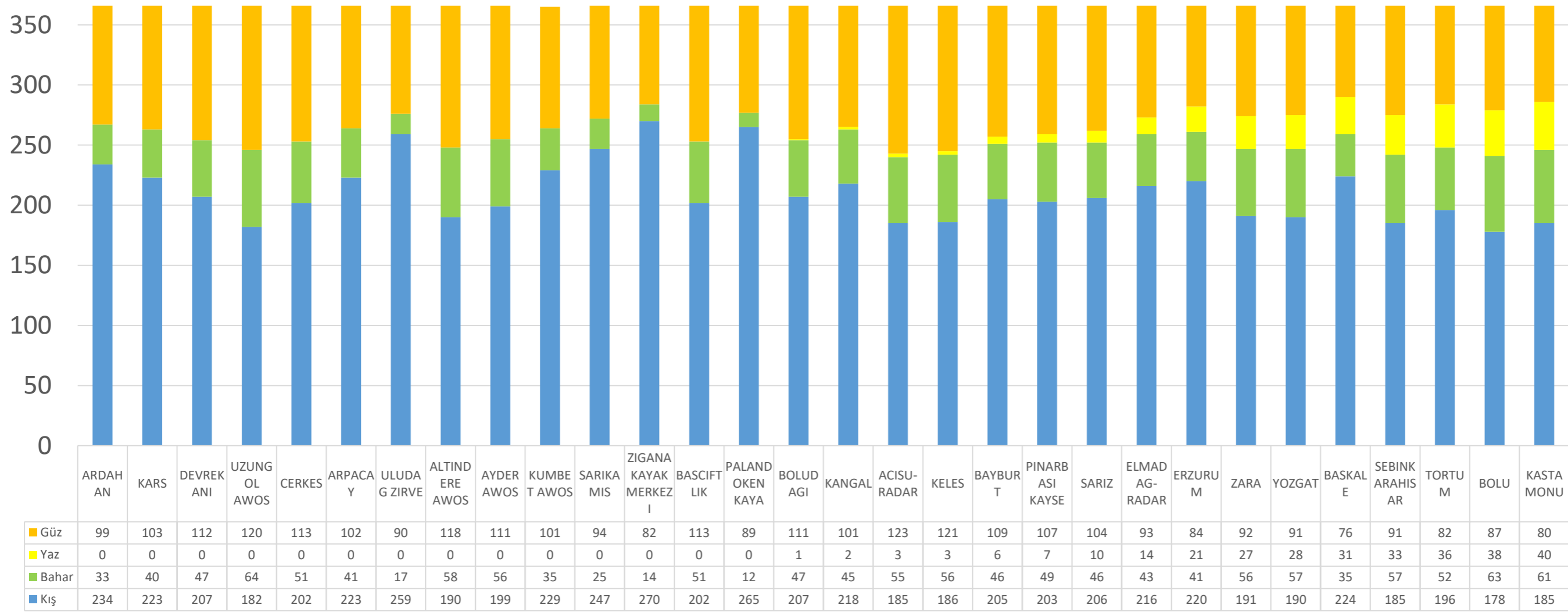
25-30

>30

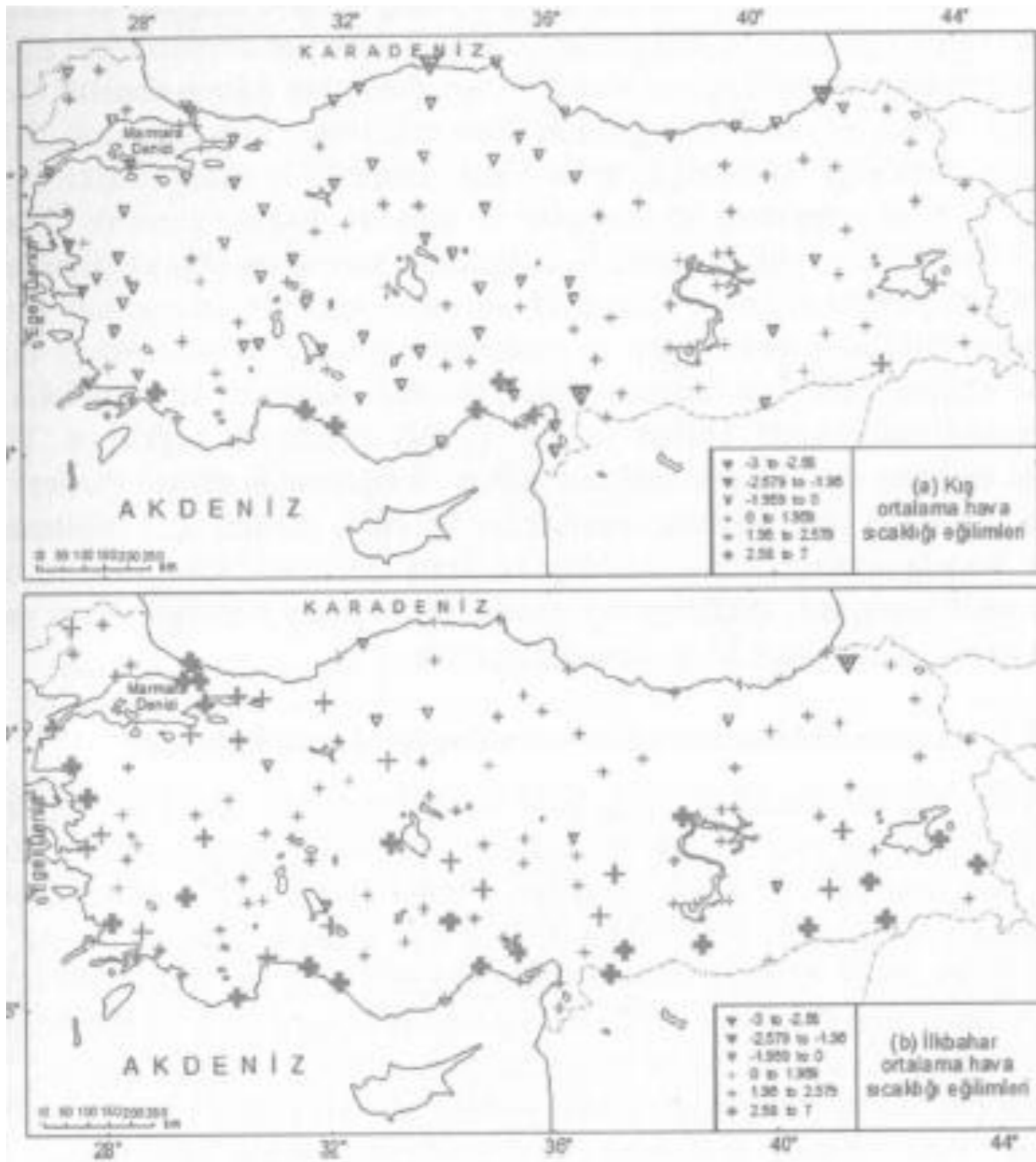


Dekatlar (Ongünler)

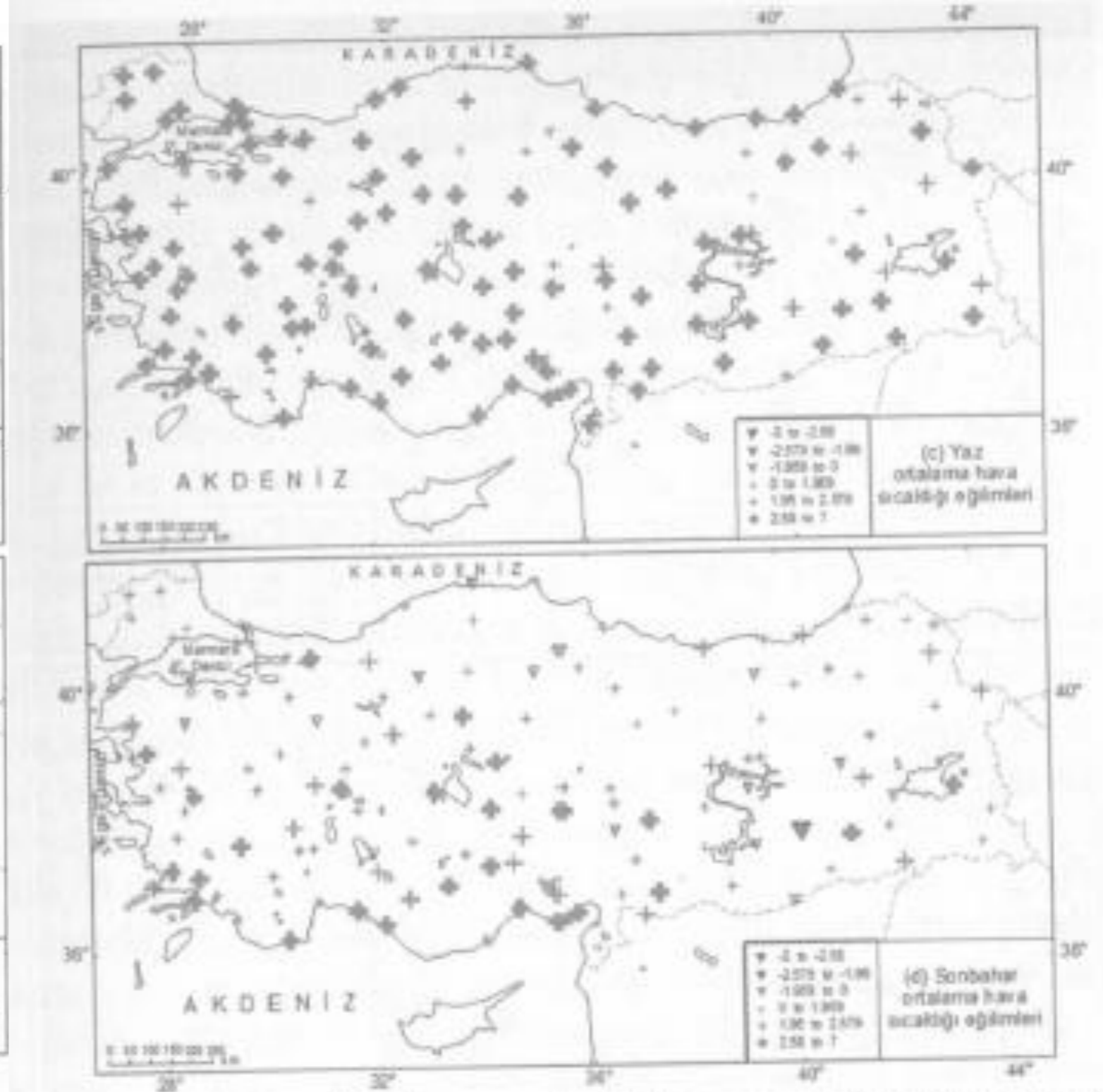
Şekil 15: Denize Uzaklık, Enlem ve Yükseltinin Türkiye'deki sıcaklıkları etkileme oranları. Bu oranlar çoklu regresyon sonuçlarından elde edilen Beta değerlerinin mutlaklarına göre hazırlanmıştır.



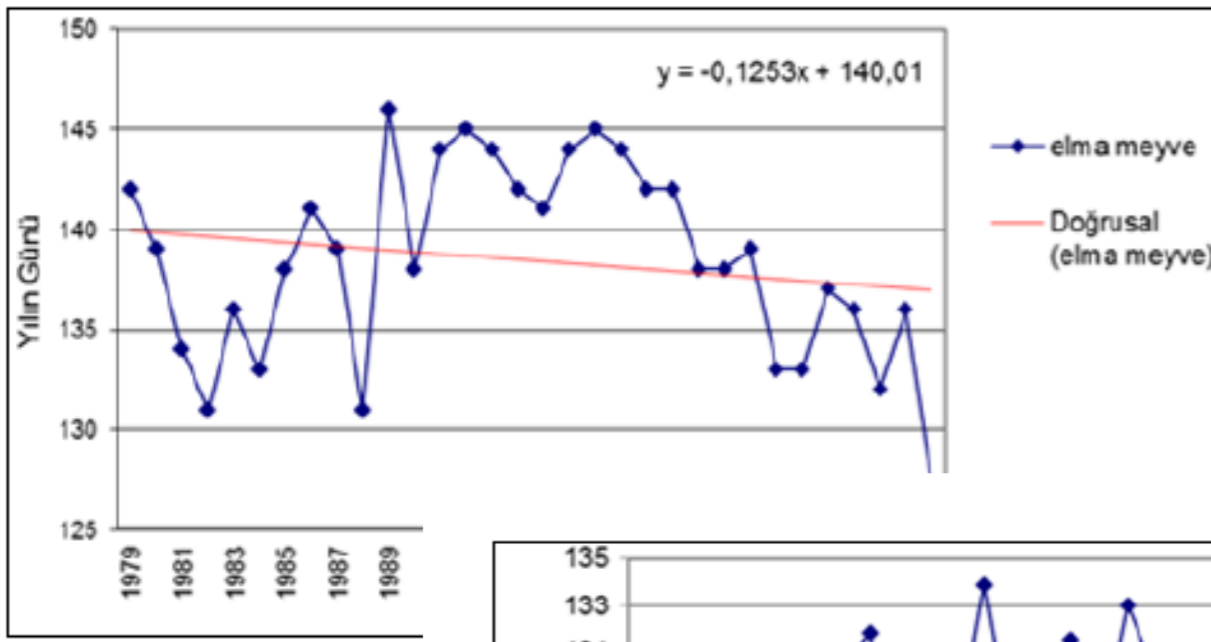
Kış Bahar Yaz Güz



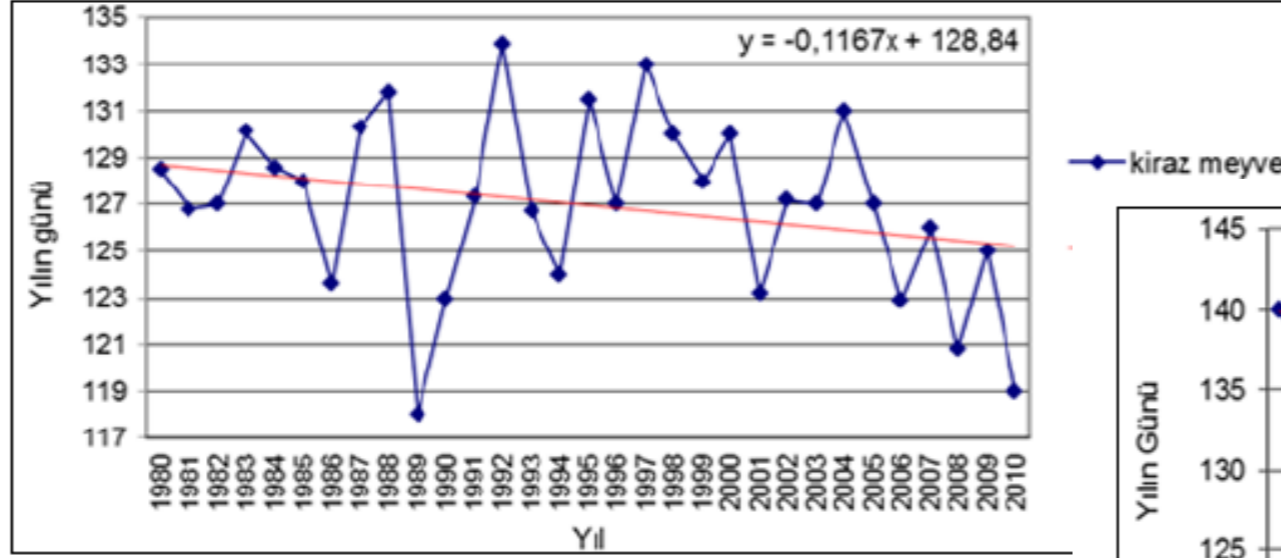
Şekil 12-1: Mann-Kendall (M-K) sıra ilişki katsayısı anlamlılık sınamasına göre, Türkiye kış (a) ve ilkbahar (b) mevsimi ortalama hava sıcaklığı dizilerindeki uzun süreli eğilimlerin alansal dağılım desenleri. Ters üçgen simgeleri, hava sıcaklığı dizilerindeki azalış eğilimlerini gösterirken, artı simgeleri dizilerdeki artış eğilimlerini gösterir. İçi dolu ve dışı boş üçgen simgeler (görece kalm ve daha kalm artı simgeler), M-K $u(t)$ sınamaya örneklem değerlerine karşılık gelen harita simgelerini içeren lejanta göre, strastıyla dizilerdeki % 5 ve % 1 anlamlılık düzeyindeki azalma (artma) eğilimlerini gösterir.



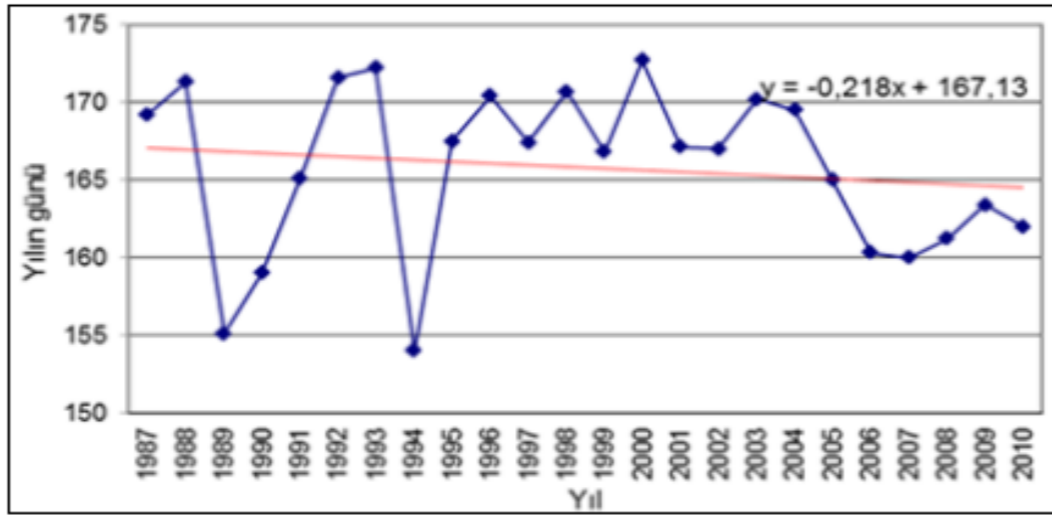
Şekil 12-2: M-K sıra ilişki katsayısı anlamlılık sınamasına göre, Türkiye yaz (c) ve sonbahar (d) mevsimi ortalama hava sıcaklığı dizilerindeki uzun süreli eğilimlerin alansal dağılım desenleri. Harita açıklaması Şekil 12-1'deki ile aynıdır.



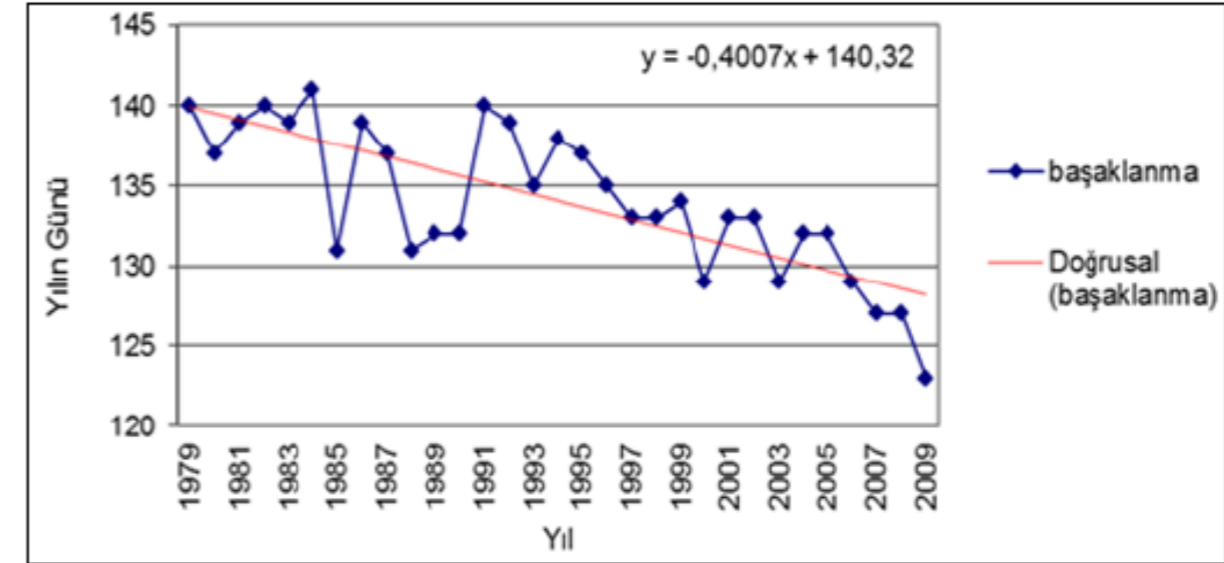
Şekil 7. Türkiye geneli



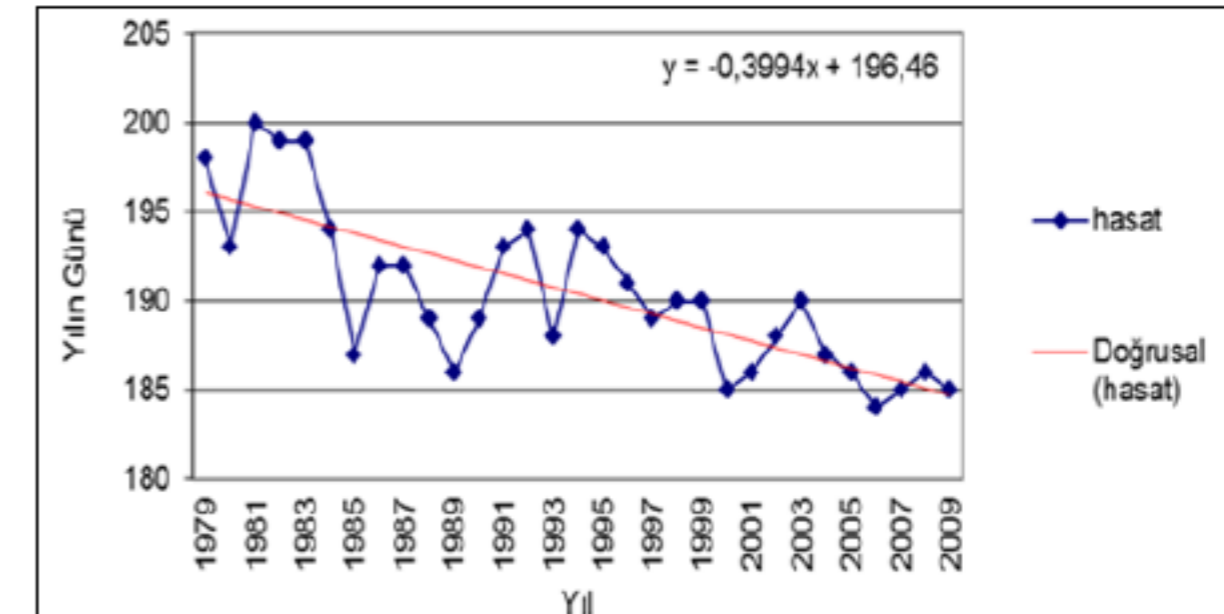
Şekil 13. Türkiye genelinde yıllara göre kiraz meyve oluşum



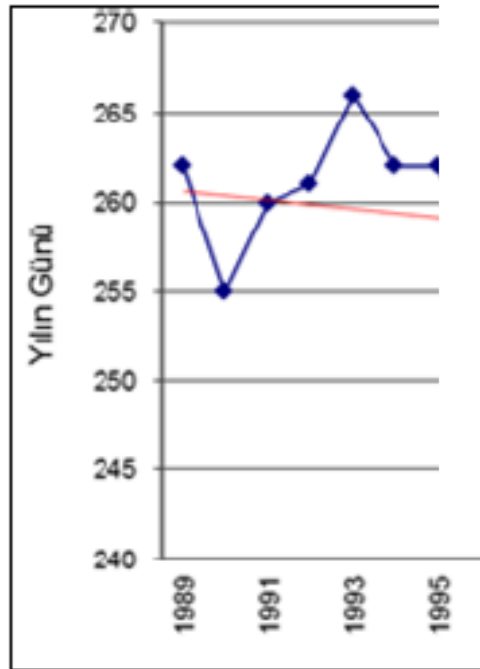
Şekil 15. Türkiye genelinde yıllara göre kiraz hasat tarihlerind



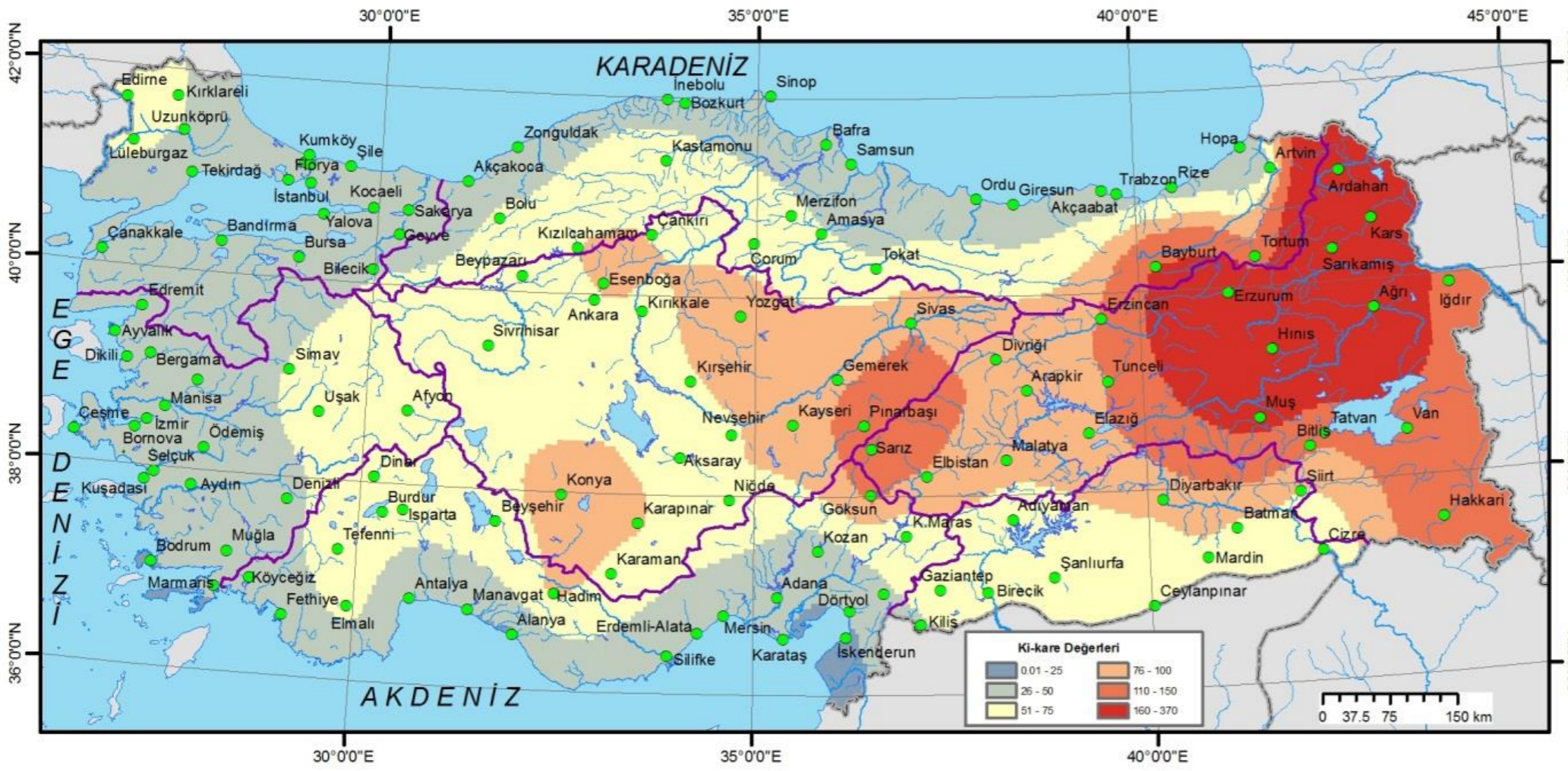
Şekil 17. Türkiye genelinde yıllara göre buğday başaklanma tarihlerindeki değişimler



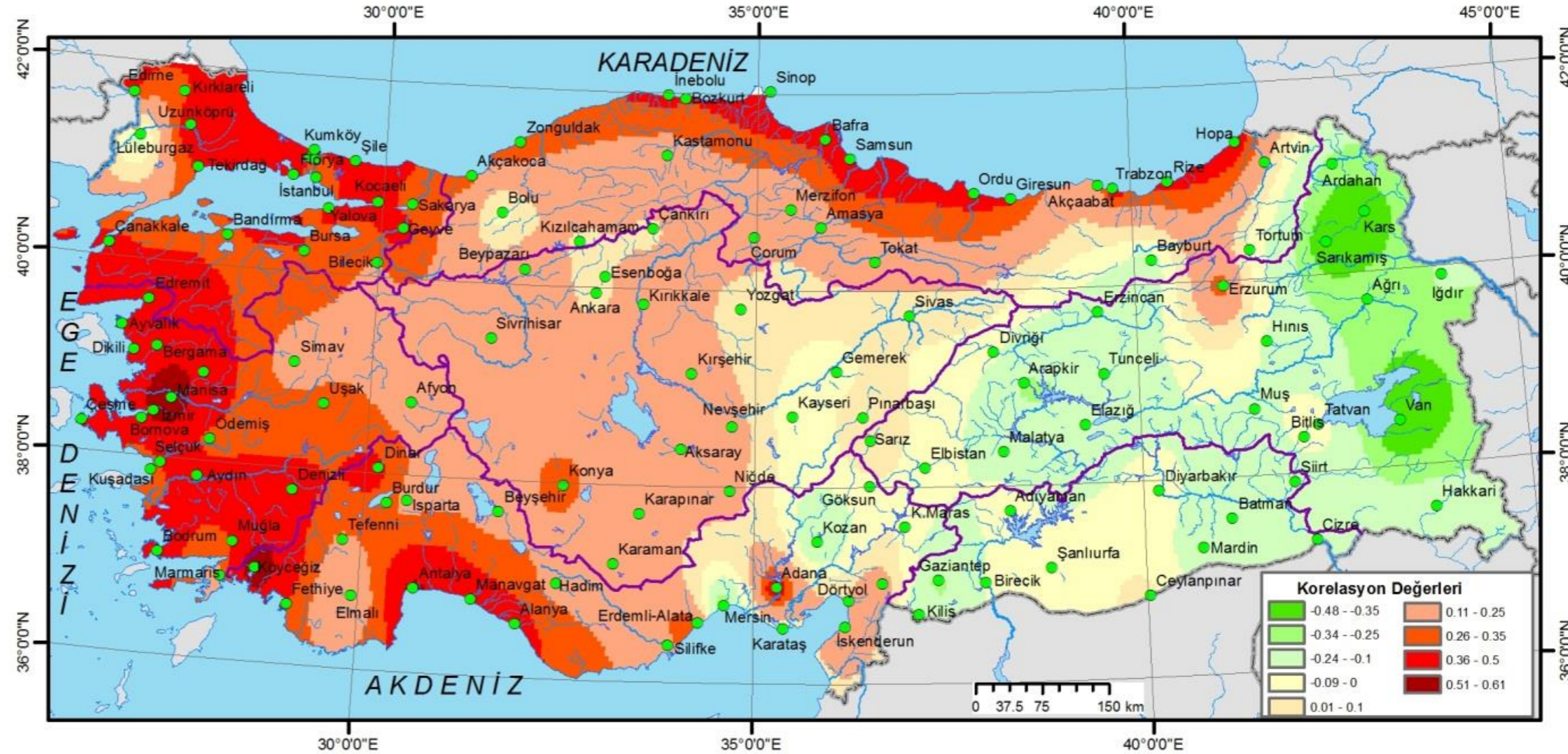
Şekil 19. Türkiye genelinde yıllara göre buğday hasat tarihlerindeki değişimler



Şekil 9. Türkiye genelinde



Şekil 1. Türkiye'de sıcaklıkların ki-kare dağılımı testi sonuçları (1950-2003).



Şekil 1. Türkiye'de sıcaklıkların ki-kare değerlerinin korelasyonu (1950-2003).

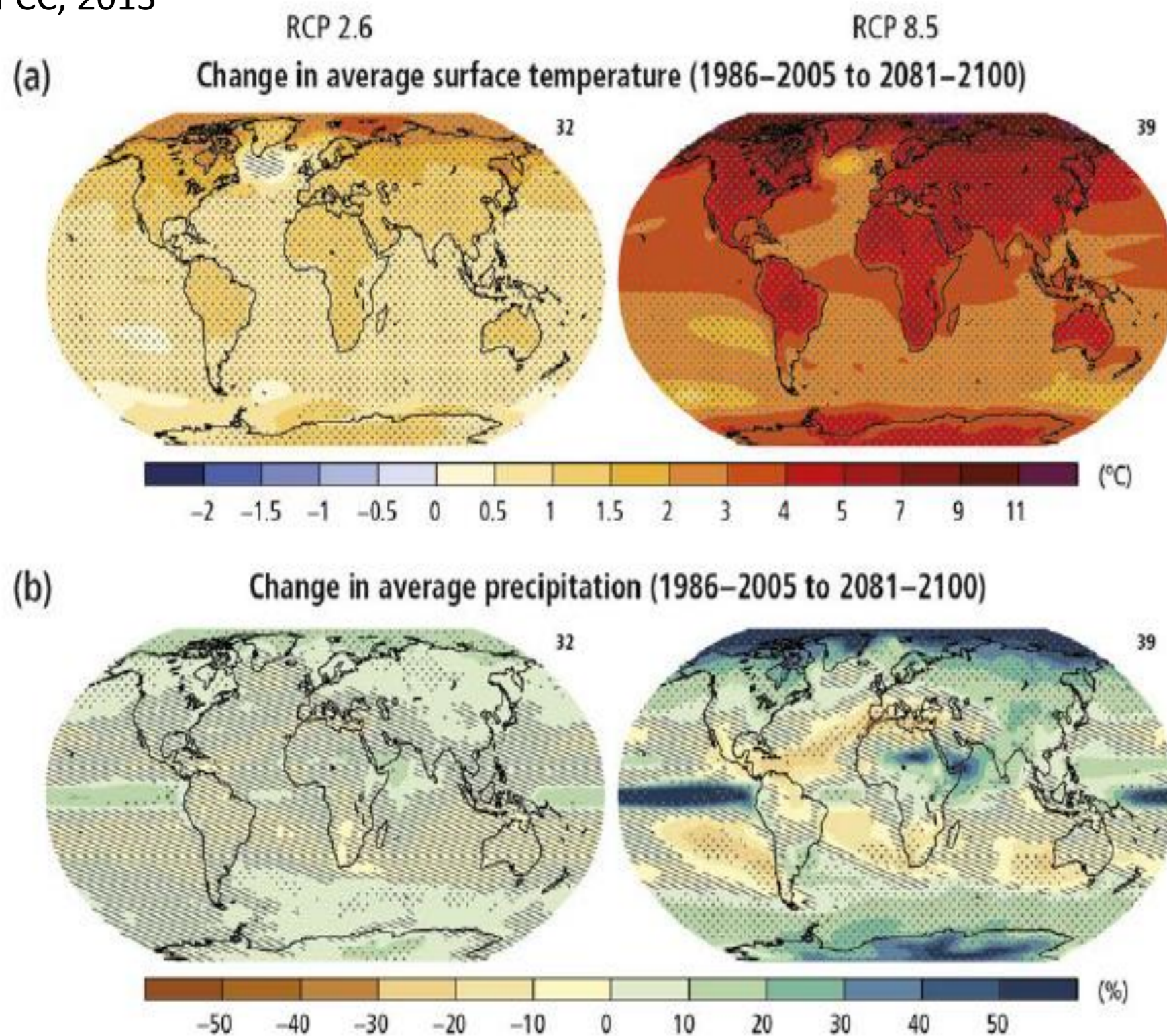


Figure SPM.7: Change in average surface temperature (a) and change in average precipitation (b) based on multi-model mean projections for 2081–2100 relative to 1986–2005 under the RCP2.6 (left) and RCP8.5 (right) scenarios. The number of models used to calculate the multi-model mean is indicated in the upper right corner of each panel. Stippling (i.e., dots) shows regions where the projected change is large compared to natural internal variability, and where at least 90% of models agree on the sign of change. Hatching (i.e., diagonal lines) shows regions where the projected change is less than one standard deviation of the natural internal variability. {2.2, Figure 2.2}